

POLYTECH

# Rapport de calcul numérique : Interpolation de points par l'utilisation de splines lissantes

*Gaoussou SISSOKO*  
*Clément RICHEFORT*

Tuteurs  
*M. BOULIER FRANCOIS*  
*M. LEMAIRE FRANCOIS*

23 décembre 2019

# Table des matières

<b>1</b>	<b>Introduction</b>	<b>2</b>
<b>2</b>	<b>Calcul des vecteurs de coefficients <math>a</math>, <math>b</math>, <math>c</math>, et <math>d</math></b>	<b>2</b>
<b>3</b>	<b>Qu'est ce qu'un multiplicateur de lagrange ?</b>	<b>4</b>
3.1	Explication théorique . . . . .	4
3.2	Exemple . . . . .	4
<b>4</b>	<b>Optimisation du paramètre <math>p</math></b>	<b>6</b>
4.1	Calcul de $p$ en fixant $S$ . . . . .	6
4.1.1	Comparaison avec scipy sur le jeu de données de la production de poisson en Allemagne . . . . .	8
4.2	Calcul de $p$ en fixant le degré de liberté $df$ . . . . .	9
4.2.1	Exemple basique . . . . .	10
4.2.2	Exemple sur la production de poisson dans le monde . . . . .	10
<b>5</b>	<b>Production de poisson de 1960 à nos jours [1]</b>	<b>11</b>
5.1	Comparaison de la production de poissons entre la France, l'Allemagne, et l'Espagne . . . . .	11
5.2	Production de poissons dans le monde, en Chine et en Inde . . . . .	11
5.3	Production de poissons en Amérique du Nord, aux Etats-Unis et au Canada . . . . .	12
5.4	Production de poissons en Afrique du Sud, au Burkina Faso, au Mali, et au Benin . . . . .	12
<b>6</b>	<b>Conclusion</b>	<b>13</b>
<b>7</b>	<b>Annexes</b>	<b>14</b>
7.1	Calcul des splines - Fortran . . . . .	14
7.2	Affichage des splines avec Scipy . . . . .	15
7.3	Méthode d'inversion de matrice . . . . .	15
7.4	Calcul du paramètre $p$ en fixant $S$ - Fortran . . . . .	16
7.5	Affichage de la courbe $df_p$ - Fortran . . . . .	17
7.6	Recherche dichotomique de $p$ - Fortran . . . . .	18
7.7	Utilisation du logiciel . . . . .	18
7.8	Variation de $\Sigma^2$ . . . . .	19
<b>8</b>	<b>Références</b>	<b>20</b>

# 1 Introduction

Le but de ce projet est d'interpoler  $n + 1$  points à l'aide de splines lissantes. Une spline lissante se définit par l'équation suivante :

$$\forall i \in \llbracket 0, n \rrbracket, f_i(x) = a_i + b_i(x - x_i) + c_i(x - x_i)^2 + d_i(x - x_i)^3, (x_i \leq x \leq x_{i+1}) \quad (1)$$

La première partie du projet consistait donc à trouver les vecteurs  $a$ ,  $b$ ,  $c$ , et  $d$  en fixant un certain paramètre  $p$  dont l'utilité est expliqué dans ce rapport.

La suite consiste à optimiser le coefficient  $p$ , et cela en essayant plusieurs méthodes, comme en fixant un paramètre  $S$  ou encore en fixant un certain degré de liberté.

Enfin, ces méthodes seront appliquées à un plus gros jeu de données : la production de poisson par pays de 1960 à nos jours.

# 2 Calcul des vecteurs de coefficients $a$ , $b$ , $c$ , et $d$

Cette partie est consacrée au calcul des vecteurs  $a$ ,  $b$ ,  $c$ , et  $d$ .

Les formules de cette partie appellent les matrices  $Q$   $(n+1) \times (n-1)$  et  $T$   $(n+1) \times (n-1)$  ainsi que les vecteurs  $h$  et  $g$  de taille  $n$ . Ceux-ci sont définis dans le polycopié de cours [2] et l'objectif n'est pas de le paraphraser ici.

Ces vecteurs se définissent comme suit :

$$(Q^T \Sigma^2 Q + pT)c = pQ^T y \quad (2)$$

Or  $(Q^T \Sigma^2 Q + pT)$  est une matrice symétrique définie positive. Grâce à l'algorithme de Cholesky, il est possible de réécrire l'équation sous la forme :

$$LL^T c = pQ^T y \quad (3)$$

Descente sur :

$$L\omega = pQ^T y \quad (4)$$

Puis remontée sur :

$$L^T c = \omega \quad (5)$$

Il est ensuite possible de résoudre  $a$  par une équation en fonction de  $c$  :

$$a = y - \frac{1}{p} \Sigma^2 Qc \quad (6)$$

Notons dès à présent que les dimensions implicites aux équations (6) et (2) des vecteurs  $a$  et  $c$  sont respectivement  $(n + 1)$  et  $(n - 1)$ . Le vecteur  $c$  se verra attribuer deux 0 à chaque extrémités pour la suite et aura donc comme dimension  $(n + 1)$ .

Le vecteur  $d$  de taille  $n$  s'obtient grâce à la formule :

$$\forall i \in \llbracket 0, n-1 \rrbracket, d_i = \frac{c_{i+1} - c_i}{3 \times h_i} \quad (7)$$

Et enfin le vecteur  $b$  de taille  $n$  également :

$$\forall i \in \llbracket 0, n-1 \rrbracket, b_i = \frac{a_{i+1} - a_i}{h_i} - c_i \times h_i - d_i \times h_i^2 \quad (8)$$

L'algorithme du calcul des splines en Fortran peut-être retrouvé en Annexe 7.1.

Voici donc quelques sorties écrans des splines calculées sur un exemple très basique, grâce aux fonctions *plot* de la librairie *Python matplotlib* :

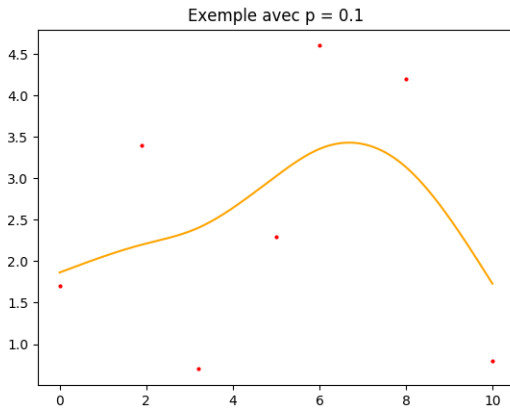


FIGURE 1 –  $p = 0.1$

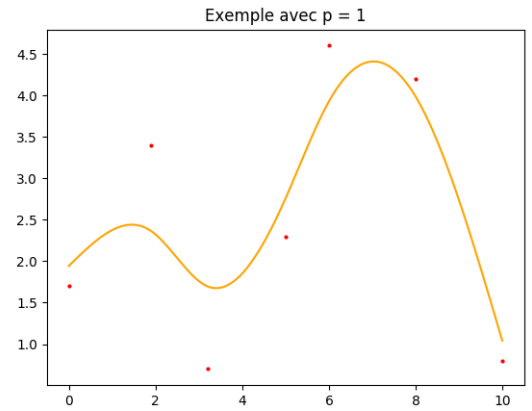


FIGURE 2 –  $p = 1$

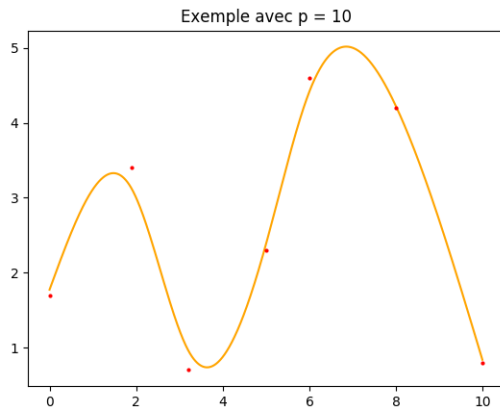


FIGURE 3 –  $p = 10$

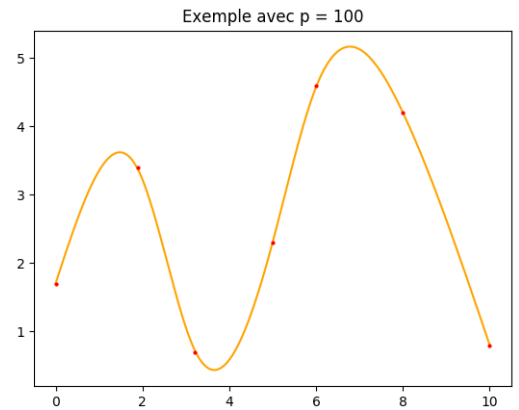


FIGURE 4 –  $p = 100$

## 3 Qu'est ce qu'un multiplicateur de lagrange ?

### 3.1 Explication théorique

La méthode des multiplicateurs de Lagrange permet de trouver les extremums ou encore les points stationnaires d'une fonction dérivable d'une ou plusieurs variables sous certaines contraintes.

— Principe :

On cherche à trouver l'extremum d'une fonction  $\phi$  de  $n$  variables à valeurs dans les nombres réels, ou encore d'un espace euclidien de dimension  $n$ , parmi les points respectant une contrainte, de type  $\psi(x) = 0$  où  $\psi$  est une fonction du même ensemble de départ que  $\phi$ . La fonction  $\psi$  est à valeurs dans un espace euclidien de dimension  $m$ . Elle peut encore être vue comme  $m$  fonctions à valeurs réelles, décrivant  $m$  contraintes. Les fonctions  $\phi$  et  $\psi$  doivent être dérivables et leurs dérivées doivent être continues ; elles doivent donc être de classe  $C^1$ .

On considère  $\lambda$  un vecteur pris dans l'ensemble d'arrivée de  $\psi$ . La fonction  $L$ , appelé le lagrangien, est définie par :

$$L(x, \lambda) = \phi(x) + \lambda\psi(x).$$

Si  $x_0$  est une solution recherchée, on montre qu'il existe un vecteur  $\lambda_0$  tel que la fonction  $L$  admet une dérivée qui s'annule au point  $(x_0, \lambda_0)$ . Les coordonnées du vecteur  $\lambda_0$  sont appelées multiplicateurs de Lagrange.

Cette technique permet de passer d'une question d'optimisation sous contrainte à une optimisation sans contrainte, celle de la fonction  $L$ , dans un espace de dimension  $n + m$ .

### 3.2 Exemple

En économie le multiplicateur de Lagrange est très souvent utilisé dans la recherche des points stationnaires d'une fonction de profit ou d'utilité.

Nous prenons l'exemple suivant qui consiste à maximiser la fonction d'utilité  $f$  d'un consommateur dépendant de la quantité consommée du bien  $x$  et de la quantité consommée du bien  $y$ , sous la contrainte budgétaire  $h$  du consommateur qui est de 24 euros ( le bien  $x$  coûtant 3 euros et le bien  $y$  4 euros) :

$$f(x, y) = \sqrt{x} * \sqrt{y}$$

$$h(x, y) = 3x + 4y - 24 = 0.$$

Pour résoudre cela, il faut donc dans un premier temps poser la fonction du Lagrangien  $L(x, y, \lambda) = f(x, y) - \lambda * h(x, y)$ . Nous obtiendrons donc  $L(x, y, \lambda) = \sqrt{xy} - \lambda[24 - 3x - 4y]$ . En posant donc un Lagrangien à la place d'une fonction à optimiser et d'une contrainte, on se retrouve alors dans un problème de recherche de points stationnaires d'une fonction à 3 variables sans contrainte.

Et pour trouver les valeurs optimales  $x^*$ ,  $y^*$  et  $\lambda^*$  permettant de résoudre notre problème, il faut donc trouver les valeurs annulant chacune des dérivées partielles de premier ordre, c'est à dire un système tel que :

$$\begin{cases} \frac{\partial}{\partial x} L(x^*, y^*, \lambda^*) = f'_x(x^*, y^*) + \lambda^* h'_x(x^*, y^*) = 0 \\ \frac{\partial}{\partial y} L(x^*, y^*, \lambda^*) = f'_y(x^*, y^*) + \lambda^* h'_y(x^*, y^*) = 0 \\ \frac{\partial}{\partial \lambda^*} L(x^*, y^*, \lambda^*) = h(x^*, y^*) = 0 \end{cases}$$

Dans notre exemple, cela nous donne donc le système suivant :

$$\begin{cases} L'_x = \frac{1}{2\sqrt{x}}\sqrt{y} + 3\lambda = 0 \implies \lambda = \frac{-1}{6\sqrt{x}}\sqrt{y} \\ L'_y = \frac{1}{2\sqrt{y}}\sqrt{x} + 4\lambda = 0 \implies \lambda = \frac{-1}{8\sqrt{y}}\sqrt{x} \\ L'_\lambda = 3x + 4y - 24 = 0 \implies 3x + 4y = 24 \end{cases}$$

$$\begin{cases} \lambda = \frac{-1}{6\sqrt{x}}\sqrt{y} = \frac{-1}{8\sqrt{y}}\sqrt{x} \Rightarrow y = \frac{6}{8}x \\ 3x + 4y = 24 \Rightarrow x = 4, y = 3 \end{cases}$$

Donc pour maximiser son bien-être (sa fonction d'utilité), le consommateur doit donc consommer 4 unités du bien X, et 3 unités du bien Y

## 4 Optimisation du paramètre $p$

Toute cette partie est consacrée à l'optimisation du paramètre  $p$ . Ce paramètre est primordial pour le rendu des splines, puisqu'il permet de contrôler le degré de lissage voulu par l'utilisateur.

### 4.1 Calcul de $p$ en fixant $S$

Cette partie explique le raisonnement pour arriver jusqu'à la méthode de newton. Même si la méthode du calcul de  $p$  en fixant le paramètre  $S$  est très bien expliqué dans [2], nous estimons qu'il est important d'en montrer le raisonnement ici.

On cherche une fonction  $f$  deux fois dérivables sur  $[a, b]$  qui minimise

$$\int_a^b (g'')^2 dx \quad (9)$$

parmi les fonctions  $g$  qui vérifient la contrainte suivante, où  $S$  est un paramètre positif donné.

$$\sum_{i=0}^n \left( \frac{g(x_i) - y_i}{\sigma_i} \right)^2 \leq S \quad (10)$$

Pour appliquer la méthode du multiplicateur de Lagrange, il est nécessaire de transformer la contrainte d'inégalité (10) en une contrainte d'égalité :

$$\sum_{i=0}^n \left( \frac{g(x_i) - y_i}{\sigma_i} \right)^2 = S - z^2 \quad (11)$$

D'après la méthode du multiplicateur de *Lagrange* dont la théorie a été expliqué ci-dessus, minimiser (9) sous la contrainte (11) équivaut à minimiser la formule suivante en introduisant le multiplicateur de *Lagrange*  $p$  :

$$\mathcal{L} = \int_a^b (g'')^2 dx + p \left( \sum_{i=0}^n \left( \frac{g(x_i) - y_i}{\sigma_i} \right)^2 - S + z^2 \right) \quad (12)$$

Toute solution optimale de  $\mathcal{L}$  annule :

$$\frac{\partial \mathcal{L}}{\partial z} = 2 \times p \times z \quad (13)$$

Soit  $p = 0$ , mais ce cas de figure n'est pas intéressant puisque  $p$  est justement le paramètre à optimiser. La deuxième possibilité est que  $z = 0$ . Dans ce cas de figure, d'après la contrainte d'égalité (11) :

$$\sum_{i=0}^n \left( \frac{g(x_i) - y_i}{\sigma_i} \right)^2 = S \quad (14)$$

Soit donc finalement :

$$\sum_{i=0}^n \left( \frac{g(x_i) - y_i}{\sigma_i} \right)^2 = (\| (\Sigma^{-1}(a - y)) \|_2)^2 = \left( \|\Sigma Q (Q^T \Sigma^2 Q + pT)^{-1} Q^T y\|_2 \right)^2 = F(p)^2 = S \quad (15)$$

Alors la fonction  $f$  suivante s'annule au paramètre  $p$  optimal :

$$f(p) = \frac{1}{F(p)} - \frac{1}{\sqrt{S}} \quad (16)$$

Il est donc possible de trouver le  $p$  optimal par la méthode de newton :

$$p^{(i+1)} = p^i - \frac{f(p)}{f'(p)} \quad (17)$$

D'après l'équation (16), la dérivée de  $f$  se définit par :

$$f'(p) = - \frac{(F(p)^2)' \times \frac{1}{\sqrt{F(p)^2}}}{F(p)^2} \quad (18)$$

Le calcul de  $(F(p)^2)'$  et de  $F(p)^2$  est suffisamment bien expliqué dans [2] pour ne pas le paraphraser ici.

Le calcul de  $p$  grâce à l'algorithme de Newton se trouve en Annexe 7.4, et la méthode d'inversion de matrice utilisée pour calculer  $(Q^T \Sigma^2 Q + pT)^{-1}$  en Annexe 7.3.

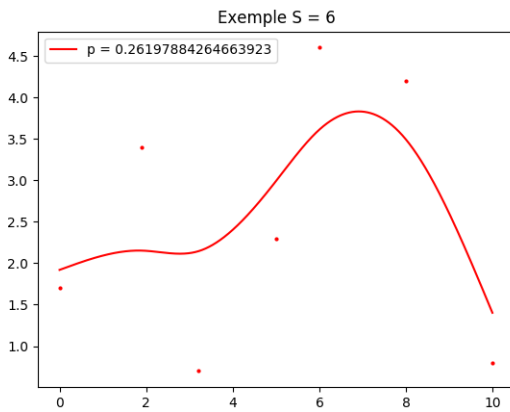


FIGURE 5 – Calcul avec  $S$  fixé à 6

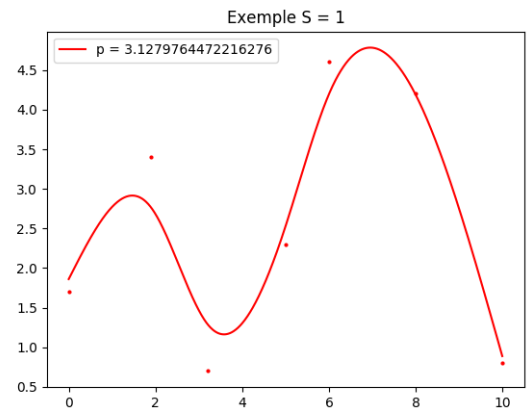


FIGURE 6 – Calcul avec  $S$  fixé à 1



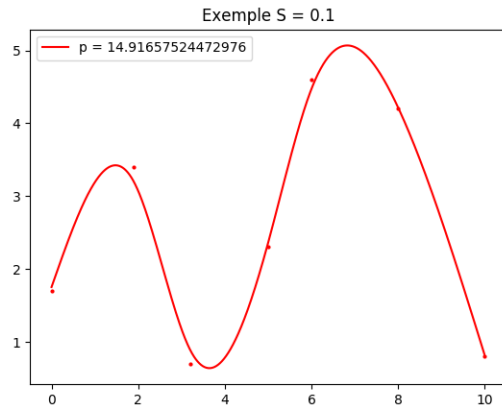


FIGURE 7 – Calcul avec  $S$  fixé à 0.1

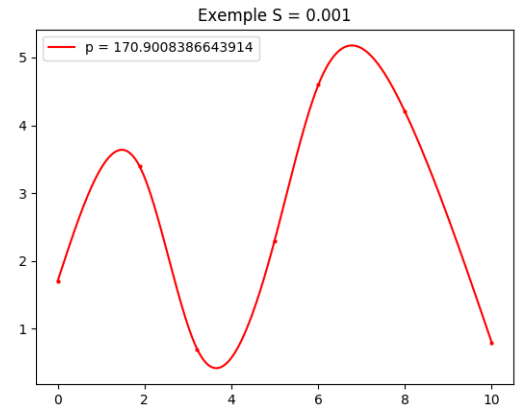


FIGURE 8 – Calcul avec  $S$  fixé à 0.001

#### 4.1.1 Comparaison avec scipy sur le jeu de données de la production de poisson en Allemagne

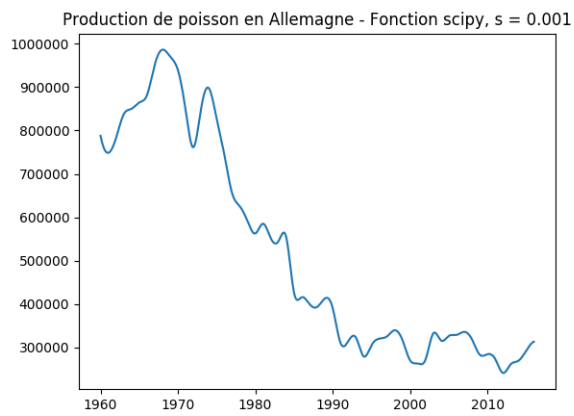


FIGURE 9 – Calculé avec Scipy, Annexe 7.2

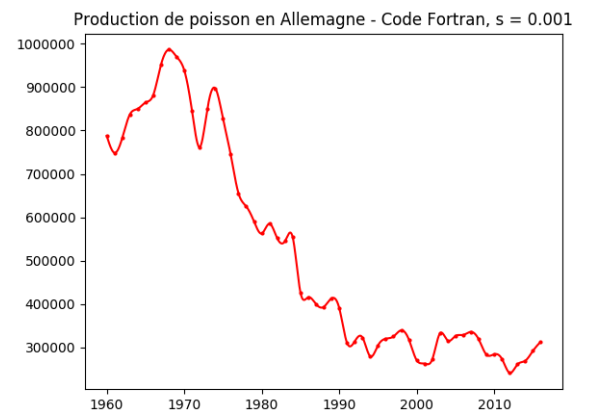


FIGURE 10 – Calculé en Fortran, Annexe 7.4, 7.1

## 4.2 Calcul de $p$ en fixant le degré de liberté $df$

Cette partie est consacrée au calcul du paramètre  $p$  en fonction du degré de liberté  $df_p$  fixé par l'utilisateur. Comme expliqué dans [2],  $df_p$  est défini comme :

$$df_p = \text{Trace}(S_p) \quad (19)$$

Où  $S_p$  est le coefficient linéaire de l'équation :

$$a = S_p y \quad (20)$$

Et se définit par :

$$S_p = I_{n+1} - \Sigma^2 Q (Q^T \Sigma^2 Q + pT)^{-1} Q^T \quad (21)$$

$df_p$  étant fixé, l'objectif est de trouver  $p$  par une recherche dichotomique. L'intervalle de recherche de  $p$  n'est pas rigoureusement fixé, il faudrait aussi étudier le sens de variation de la fonction  $df_p$  pour garantir l'existence et l'unicité du paramètre  $p$  dans l'intervalle de recherche  $[\alpha, \beta]$ . Cependant le programme donné en Annexe 7.5 permet d'afficher la courbe pour  $\alpha = 10^{-5}$  et  $\beta = 10^5$ , et d'en inférer négligemment son allure.

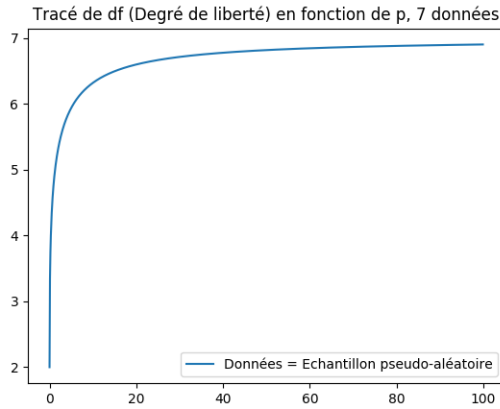


FIGURE 11 – Exemple basique

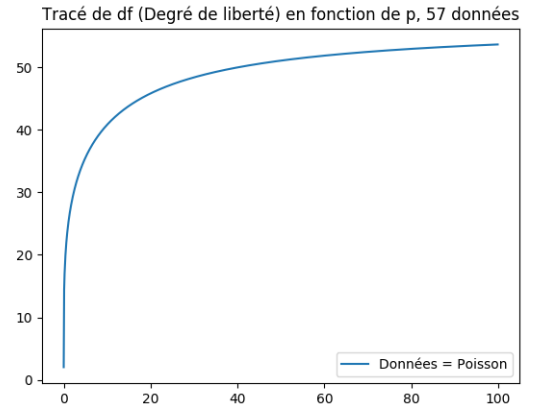


FIGURE 12 – Exemple de la production de poissons

Grâce à ces courbes, il est possible de faire l'hypothèse de monotonie croissante de  $df_p$ . D'ailleurs,  $df_p$  semble ici comprise entre 2 et  $n + 1$ , comme présenté dans [2]. Par cette hypothèse, il est possible de faire une recherche dichotomique du paramètre  $p$  en fixant  $df_p$ . Un tel algorithme de recherche dichotomique est simple, il suffit de calculer  $S_p$ , sa trace, et de restreindre peu à peu l'intervalle de recherche de  $p$   $[\alpha, \beta]$  en comparant la valeur attendue par la trace calculée. Si le  $df_p$  calculé est supérieur au  $df_p$  attendu, alors  $\beta \leftarrow p$ , sinon s'il est inférieur, alors  $\alpha \leftarrow p$ . D'ailleurs,  $p$  peut-être calculé de plusieurs manière, dont voici deux exemple :

$$p \leftarrow \frac{\sqrt{\alpha \times \beta}}{\frac{\alpha + \beta}{2}}$$

Voici le rendu des courbes sur les deux jeux de données. Le code Fortran de la recherche dichotomique de  $p$  est donné en Annexe 7.6

#### 4.2.1 Exemple basique

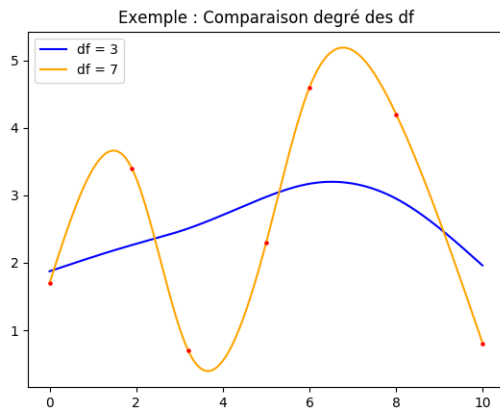


FIGURE 13 – Exemple basique

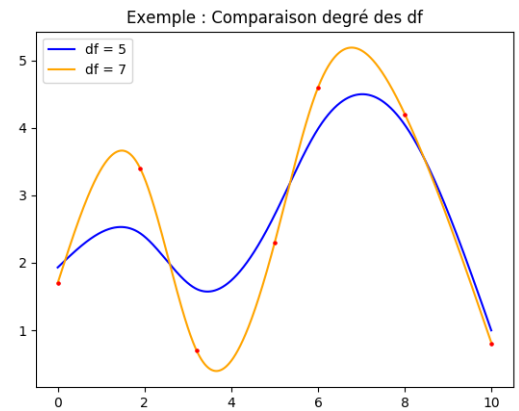


FIGURE 14 – Exemple de la production de poissons

#### 4.2.2 Exemple sur la production de poisson dans le monde

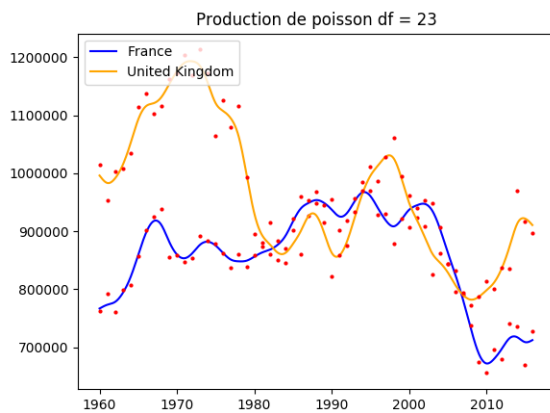


FIGURE 15 – Exemple basique

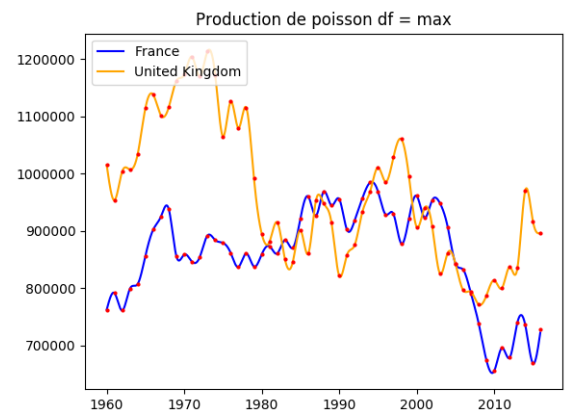


FIGURE 16 – Exemple de la production de poissons

## 5 Production de poisson de 1960 à nos jours [1]

Cette partie est illustrative, visualisons les résultats graphiques de tous ces calculs !

### 5.1 Comparaison de la production de poissons entre la France, l'Allemagne, et l'Espagne

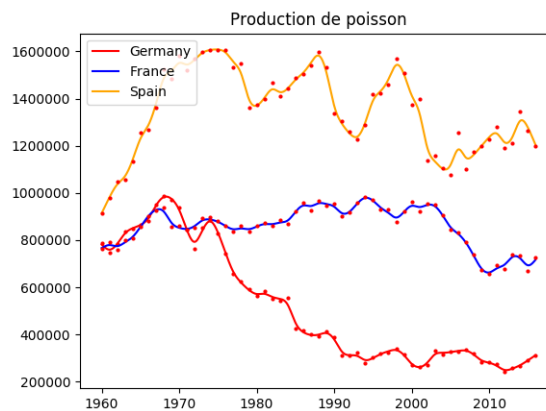


FIGURE 17 – Degré de liberté fixé à 35

### 5.2 Production de poissons dans le monde, en Chine et en Inde

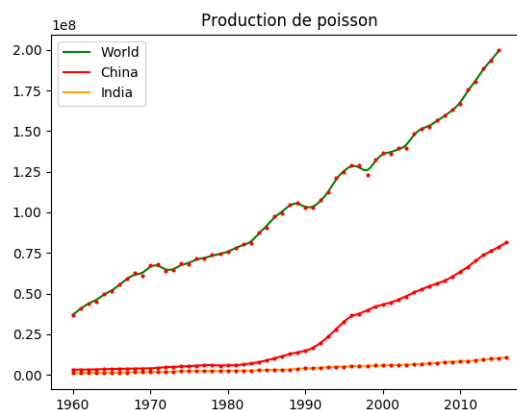


FIGURE 18 – Degré de liberté fixé à 35

### 5.3 Production de poissons en Amérique du Nord, aux Etats-Unis et au Canada

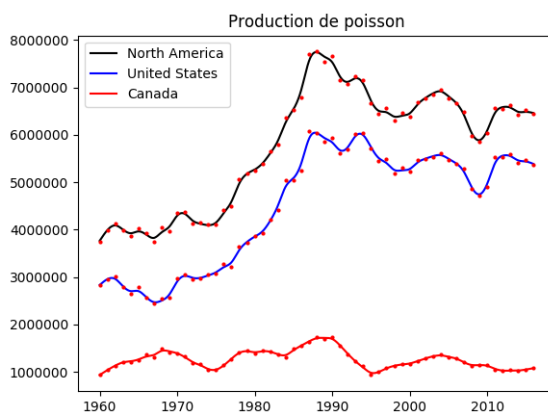


FIGURE 19 – Degré de liberté fixé à 35

### 5.4 Production de poissons en Afrique du Sud, au Burkina Faso, au Mali, et au Bénin

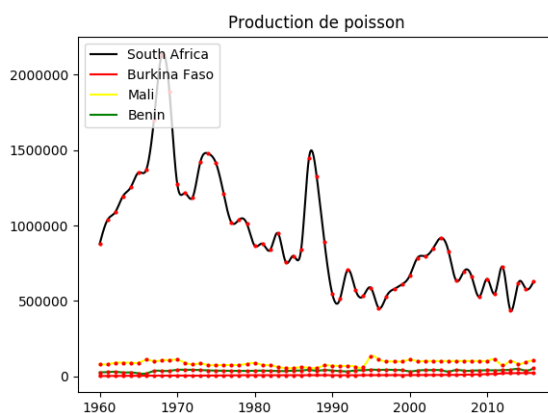


FIGURE 20 – Degré de liberté fixé au maximum ( $n + 1$ )

## 6 Conclusion

Le code s'est architecturé autour d'un programme central écrit en Python permettant l'importation des données, l'affichage des splines et surtout l'appel des fonctions Fortran, réservé aux parties calculatoires. L'association de ces deux langages de programmation est très simple d'utilisation grâce à la librairie *f2py3 - Fortran To Python 3*.

Il était tout à fait possible de faire l'ensemble du projet en Python, cependant, l'utilisation d'un langage natif comme Fortran est parfaitement adéquat dans un contexte d'optimisation du temps de calcul et de performance en général. Ce choix s'argumente donc par une cohérence avec le contexte, mais aussi par la valeur esthétique que l'on attribue subjectivement à Fortran !

Nous sommes très satisfait du projet, notamment car nous avons réussi le calcul des splines, l'optimisation de  $p$  par deux méthodes différentes, mais aussi et surtout parce que tous les calculs ont été faits par nos propres programmes (hormis les multiplications de matrices qui sont réalisées grâce aux fonctions *DGEMM* [3] et *DGEMV*).

Cependant, le calcul de  $p$  par la dernière méthode proposé n'a pas pu être réalisé par manque de temps. Comme dit précédemment, le fait que tous les programmes ont été écrits par nos soins et en Fortran demandait plus de travail personnel.

Ce projet peut faire l'objet d'améliorations sur notre temps personnel, notamment en implémentant les splines dans l'enveloppe de *Graham* vu en cours de structures de données en *GIS3*, ou encore pour modéliser des trajectoires sur une séquence d'images, etc.

## 7 Annexes

### 7.1 Calcul des splines - Fortran

```

1      SUBROUTINE SPLINES(Y,LDY,H,LDH,Q,LDQ,T,LDT,
2      $                  SIG,LDSIG,N,P,A,LDA,B,LDB,C,LDC,
3      $                  D,LDD)
4  !variables données
5      DOUBLE PRECISION Y(LDY),H(LDH)
6      DOUBLE PRECISION Q(LDQ,*), T(LDT,*), SIG(LDSIG,*)
7      INTEGER N
8      DOUBLE PRECISION P
9  !variables résultats
10     DOUBLE PRECISION A(LDA), B(LDB), C(LDC), D(LDD)
11 !variables locales
12     DOUBLE PRECISION QTQ(N-1,N-1), QSIG(N-1,N+1), M(N-1,N-1)
13     DOUBLE PRECISION L(N-1,N-1), TEMP(N-1), SIGQ(N+1,N-1)
14 !début
15     CALL DGEMM('T','N',N-1,N+1,LDQ,1D0,Q,LDQ,SIG,LDSIG,
16     $          ODO,QSIG,N-1)
17     CALL DGEMM('N','N',N-1,N-1,LDQ,1D0,QSIG,N-1,Q,LDQ,
18     $          ODO,QTQ,N-1)
19     CALL ADDITION_MATRICE_CARRE(QTQ,N-1,T,LDT,M,N-1,P)
20     CALL CHOLESKY(M,N-1,L,N-1)
21     CALL DGEMV('T',LDQ,N-1,P,Q,LDQ,Y,1,
22     $          ODO,TEMP,1)
23     CALL DESCENTE(L,N-1,TEMP,N-1)
24     CALL REMONTEE(L,N-1,TEMP,N-1)
25     CALL DGEMM('N','N',LDSIG,N-1,LDQ,1D0,SIG,LDSIG,Q,LDQ,
26     $          ODO,SIGQ,N+1)
27     CALL DGEMV('N',LDQ,N-1,(1/P)*1D0,SIGQ,N+1,TEMP,1,ODO,A,1)
28 *f2py intent(inplace) a,b,c,d
29     DO I=1,LDA
30         A(I) = Y(I) - A(I)
31     END DO
32     C(1) = 0
33     C(LDC) = 0
34     DO I=1,LDC-2
35         C(I+1) = TEMP(I)
36     END DO
37     DO I=1,LDD
38         D(I) = (C(I+1) - C(I))/(3.0*H(I))
39     END DO
40     DO I=1,LDB
41         B(I) = (A(I+1) - A(I))/H(I) - C(I)*H(I) - D(I)*H(I)*H(I)
42     END DO
43     DO I=1,LDB
44     END DO
45
46     END SUBROUTINE

```

## 7.2 Affichage des splines avec Scipy

```
f = interpolate.interpld(vecteur_final1[1][0],
    vecteur_final1[1][1], fill_value = "interpolate", kind="cubic")
f = interpolate.UnivariateSpline(vecteur_final1[1][0]
    , vecteur_final1[1][1], s=0.01)
xnew = np.arange(min(vecteur_final1[1][0]),
    max(vecteur_final1[1][0]),
    0.001)
plt.plot(xnew, f(xnew), '-')
```

## 7.3 Méthode d'inversion de matrice

Soit la définition de l'inverse d'une matrice  $A$   $(n) \times (n)$  symétrique définie positive :

$$AA^{-1} = I_n \quad (22)$$

La matrice inverse  $A^{-1}$  étant l'inconnue de l'équation, on a :

$$\begin{pmatrix} a_{1,1} & \dots & a_{1,j} & \dots & a_{1,n} \\ \vdots & \ddots & \dots & \ddots & \vdots \\ a_{i,1} & \dots & a_{i,j} & \dots & a_{i,n} \\ \vdots & \ddots & \dots & \ddots & \vdots \\ a_{n,1} & \dots & a_{n,j} & \dots & a_{n,n} \end{pmatrix} \begin{pmatrix} \sigma_{1,1} & \dots & \sigma_{1,j} & \dots & \sigma_{1,n} \\ \vdots & \ddots & \dots & \ddots & \vdots \\ \sigma_{i,1} & \dots & \sigma_{i,j} & \dots & \sigma_{i,n} \\ \vdots & \ddots & \dots & \ddots & \vdots \\ \sigma_{n,1} & \dots & \sigma_{n,j} & \dots & \sigma_{n,n} \end{pmatrix} = I_n \quad (23)$$

Comme la matrice  $A$  est SDP, on applique la méthode de Cholesky pour la décomposer en deux matrices  $LL^T$ . Ainsi, l'inversion de la matrice  $A$  revient à résoudre  $n$  systèmes d'équations linéaires sur chaque colonne de  $A^{-1}$ . Par exemple, pour la première colonne de  $A^{-1}$ , on obtient le système :

$$LL^T \begin{pmatrix} \sigma_{1,1} \\ \vdots \\ \sigma_{i,1} \\ \vdots \\ \sigma_{n,1} \end{pmatrix} = \begin{pmatrix} 1 \\ 0 \\ 0 \\ \vdots \\ 0 \end{pmatrix} \quad (24)$$



## 7.4 Calcul du paramètre p en fixant S - Fortran

```

1      DOUBLE PRECISION FUNCTION NEWTON_P(Q,LDQ,T,LDT,SIG,LDSIG,Y,
2      $      LDY,N,S,ITERATION)
3      IMPLICIT NONE
4      !variables données :
5      INTEGER LDQ,LDT,LDSIG,LDY,N,ITERATION,I,J
6      DOUBLE PRECISION Q(LDQ,*),T(LDT,*),Y(LDY),SIG(LDSIG,*),S
7      !variables locales :
8      DOUBLE PRECISION QTQ(N-1,N-1),M(N-1,N-1),INVERSE(N-1,N-1)
9      DOUBLE PRECISION QQT(N-1,N+1),SIGR(N+1,N+1),U(N-1),V(N+1)
10     DOUBLE PRECISION SIGQ(N+1,N-1)
11     DOUBLE PRECISION UMAT(1,N-1), QQ(1,N-1),QSIG(N-1,N+1)
12     DOUBLE PRECISION FP2, FP2P, NORME2, FP, FPP
13     NEWTON_P = 0.0001D0
14     DO I=1,N+1
15         DO J=1,N+1
16             IF (I==J) THEN
17                 SIGR(I,I) = SQRT(SIG(I,I))
18             ELSE
19                 SIGR(I,J) = 0
20             END IF
21         END DO
22     END DO
23     DO I=1,ITERATION
24         CALL DGEMM('T','N',N-1,LDSIG,LDQ,1D0,Q,LDQ,SIG,LDSIG,
25         $         ODO,QSIG,N-1)
26         CALL DGEMM('N','N',N-1,N-1,N+1,1D0,QSIG,N-1,Q,LDQ,
27         $         ODO,QTQ,N-1)
28         CALL ADDITION_MATRICE_CARRE(QTQ,N-1,T,LDT,M,N-1,NEWTON_P)
29         CALL INVERSION(M,N-1,INVERSE,N-1,N-1)
30         DO J=1,N-1
31             WRITE(*,*) INVERSE(:,J)
32         END DO
33         CALL DGEMM('N','T',N-1,N+1,N-1,1D0,INVERSE,N-1,Q,LDQ,
34         $         ODO,QQT,N-1)
35         CALL DGEMV('N',N-1,N+1,1D0,QQT,N-1,Y,1,ODO,U,1)
36         CALL DGEMM('N','N',N+1,N-1,N+1,1D0,SIGR,N+1,Q,LDQ,ODO,
37         $         SIGQ,N+1)
38         CALL DGEMV('N',N+1,N-1,1D0,SIGQ,N+1,U,1,ODO,V,1)
39         FP2 = NORME2(V,N+1,V,N+1)
40         UMAT(1,:) = U
41         CALL DGEMM('N','N',1,N-1,N-1,1D0,UMAT,1,T,LDT,ODO,
42         $         QQ,1)
43         UMAT(1,:) = QQ(1,:)
44         FP2P = -1D0 * NORME2(UMAT,N-1,U,N-1)
45         CALL DGEMM('N','N',1,N-1,N-1,1D0,UMAT,1,INVERSE,N-1,ODO,
46         $         QQ,1)
47         UMAT(1,:) = QQ(1,:)
48         CALL DGEMM('N','N',1,N-1,N-1,1D0,UMAT,1,T,LDT,ODO,
49         $         QQ,1)
50         FP2P = 2D0 * (NEWTON_P * NORME2(QQ,N-1,U,N-1) + FP2P)
51         FP = (1/SQRT(FP2)) - (1/SQRT(S))
52         FPP = (-0.5D0 * FP2P * (1/SQRT(FP2)))/FP2
53         NEWTON_P = NEWTON_P - (FP/FPP)
54     END DO
55     RETURN
56     END FUNCTION

```

## 7.5 Affichage de la courbe $df_p$ - Fortran

```

1      SUBROUTINE DFP(Q,LDQ,T,LDT,SIG,LDSIG,N,RES,LDRES,
2      $              IND,LDIND,A,B,H)
3      ! Cette fonction permet de calculer un vecteur de df en fonction de p
4      INTEGER LDQ,LDT,LDSIG,N,I,INDICE,P_LOOP
5      DOUBLE PRECISION Q(LDQ,*), T(LDT,*), SIG(LDSIG,*)
6      DOUBLE PRECISION RES(LDRES),IND(LDIND)
7      !variables locales
8      DOUBLE PRECISION IDENT(N+1,N+1),M(N-1,N-1),
9      $              QSIG(N-1,N+1),SIGQ(N+1,N-1),
10     $              QQ(N-1,N-1),
11     $              INVERSE(N-1,N-1), TEMP(N+1,N-1)
12     DOUBLE PRECISION A,B,H,P,DF
13     INDICE = 1
14     DF = 0
15 *f2py intent(inplace) res
16 *f2py intent(inplace) ind
17     CALL IDENTITE(IDENT,N+1)
18     CALL DGEMM('T','N',LDQ-2,N+1,LDQ,1D0,Q,LDQ,SIG,LDSIG,
19     $          ODO,QSIG,N-1)
20     CALL DGEMM('N','N',N-1,N-1,N+1,1D0,QSIG,N-1,Q,LDQ,
21     $          ODO,QQ,N-1)
22     DO P_LOOP = 1,INT(B*H)
23         P = A + (P_LOOP - 1)/(H * 1D0)
24         CALL ADDITION_MATRICE_CARRE(QQ,N-1,T,LDT,M,N-1,P)
25         CALL INVERSION(M,N-1,INVERSE,N-1,N-1)
26         CALL DGEMM('N','N',LDSIG,N-1,N+1,1D0,SIG,LDSIG,Q,LDQ,
27         $          ODO,SIGQ,N+1)
28         CALL DGEMM('N','N',N+1,N-1,N-1,1D0,SIGQ,N+1,INVERSE,
29         $          N-1,ODO,TEMP,N+1)
30         CALL DGEMM('N','T',N+1,N+1,N-1,1D0,TEMP,N+1,Q,
31         $          LDQ,ODO,IDENT,N+1)
32         DO I = 1,N+1
33             DF = DF + (1-IDENT(I,I))
34         END DO
35         RES(INDICE) = DF
36         IND(INDICE) = P
37         INDICE = INDICE + 1
38         DF = ODO
39     END DO
40     END SUBROUTINE

```

## 7.6 Recherche dichotomique de $p$ - Fortran

```

1      DOUBLE PRECISION FUNCTION PDF(Q,LDQ,T,LDT,SIG,
2      $                                LDSIG,N,DFGOAL,A,B)
3      ! Cette fonction permet de calculer p selon un df donné par
4      ! recherche dichotomique
5      INTEGER LDQ,LDT,LDSIG,N,I,INDICE
6      DOUBLE PRECISION Q(LDQ,*), T(LDT,*), SIG(LDSIG,*)
7      DOUBLE PRECISION SEUIL,DF,A,B,DFGOAL
8      !variables locales
9      DOUBLE PRECISION IDENT(N+1,N+1),M(N-1,N-1),
10     $                QSIG(N-1,N+1),SIGQ(N+1,N-1),
11     $                QQ(N-1,N-1),
12     $                INVERSE(N-1,N-1), TEMP(N+1,N-1)
13     SEUIL = 0.001D0
14     DF = DFGOAL + SEUIL + 1D0
15     CALL IDENTITE(IDENT,N+1)
16     CALL DGEMM('T','N',LDQ-2,N+1,LDQ,1D0,Q,LDQ,SIG,LDSIG,
17     $          ODO,QSIG,N-1)
18     CALL DGEMM('N','N',N-1,N-1,N+1,1D0,QSIG,N-1,Q,LDQ,
19     $          ODO,QQ,N-1)
20     INDICE = 0
21     DO WHILE((ABS(DFGOAL - DF) .gt. SEUIL .and. INDICE .lt. 300))
22         PDF = SQRT(A*B)
23         DF = ODO
24         CALL ADDITION_MATRICE_CARRE(QQ,N-1,T,LDT,M,N-1,PDF)
25         CALL INVERSION(M,N-1,INVERSE,N-1,N-1)
26         CALL DGEMM('N','N',LDSIG,N-1,N+1,1D0,SIG,LDSIG,Q,LDQ,
27     $          ODO,SIGQ,N+1)
28         CALL DGEMM('N','N',N+1,N-1,N-1,1D0,SIGQ,N+1,INVERSE,
29     $          N-1,ODO,TEMP,N+1)
30         CALL DGEMM('N','T',N+1,N+1,N-1,1D0,TEMP,N+1,Q,
31     $          LDQ,ODO,IDENT,N+1)
32         DO I = 1,N+1
33             DF = DF + (1D0-IDENT(I,I))
34         END DO
35         IF(DF > DFGOAL) THEN
36             B = PDF
37         ELSE IF(DF < DFGOAL) THEN
38             A = PDF
39         END IF
40         INDICE = INDICE + 1
41     END DO
42     WRITE(*,*)PDF,DF,(ABS(DFGOAL - DF))
43     RETURN
44     END FUNCTION
45
46
47

```

## 7.7 Utilisation du logiciel

Le logiciel s'architecture autour d'un squelette Python appelant des programmes Fortran. Le logiciel utilise *f2py3*. Les fichiers fortran sont inscrits ligne 10 du *Makefile*. Instructions d'utilisation :

1. Compiler avec *make*.
2. Insérer dans les variables *pays<sub>i</sub>* les noms correspondant aux pays à visualiser
3. Insérer la valeur du df souhaité, ou "max" pour  $df = n + 1$ , ou *None* pour calculer p en fonction de S
4. Vérifier que les bibliothèques *numpy* et *matplotlib* sont bien installées sur le système.
5. Lancer avec la commande *python3 spline.py*

## 7.8 Variation de $\Sigma^2$

Voici ici quelques images illustrant des variations sur la matrice  $\Sigma^2$ .

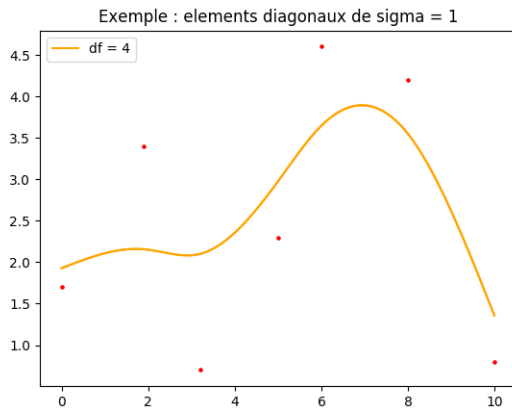


FIGURE 21 –  $\Sigma_{i,i}^2 = 1$

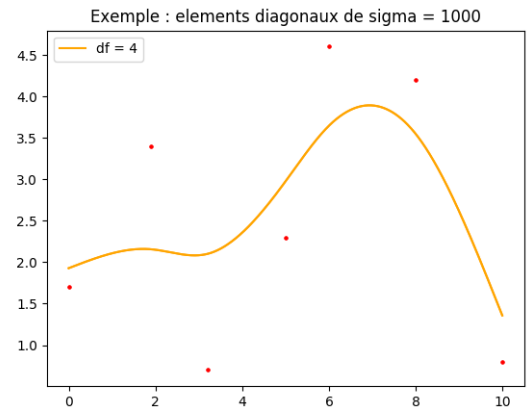


FIGURE 22 –  $\Sigma_{i,i}^2 = 1000$

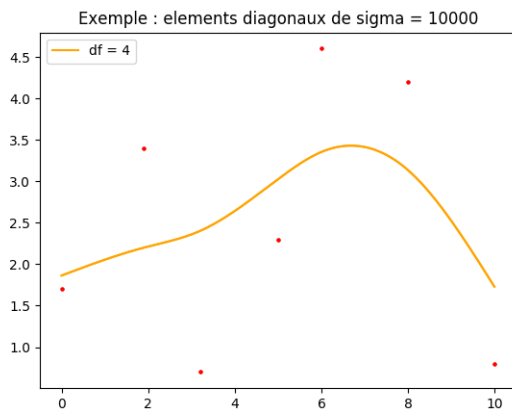


FIGURE 23 –  $\Sigma_{i,i}^2 = 10000$

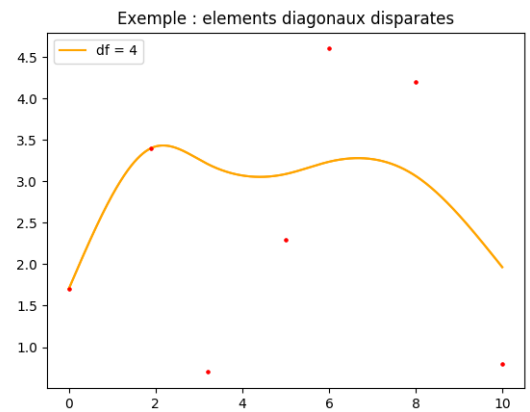


FIGURE 24 –  $\Sigma_{i,i}^2$  pseudo-aléatoire

## 8 Références

### Références

- [1] Data World BANK. “Total fisheries Production”. In : (2019). URL : <https://data.worldbank.org/indicator/ER.FSH.PROD.MT?view=chart>.
- [2] François BOULIER. “Notes de cours - Calcul numérique”. In : (2019). URL : <https://pro.univ-lille.fr/francois-boulier/enseignements/calcul-numerique/>.
- [3] INTEL. “Multiplying Matrices Using dgemm”. In : (2019). URL : <https://software.intel.com/en-us/mkl-tutorial-c-multiplying-matrices-using-dgemm>.